

SDP релаксация для задачи поиска максимального разреза

Роман Горб

Декабрь 2019

Аннотация

Темой данного курсового проекта является решение NP-полной задачи Max Cut. Начиная с приведения постановки задачи, речь пойдет о построении релаксации в терминах полуопределенного программирования (SDP), затем будет описан и доказан алгоритм Гёманса–Уильямсона восстановления разреза, и, наконец, будет произведен анализ работы его реализации на различных классических наборах тестов.

Содержание

1	Постановка задачи	2
2	Построение SDP задачи	2
3	Алгоритм Гёманса–Уильямсона	3
3.1	Описание	3
3.2	Корректность	3
4	Эксперимент	5
4.1	План эксперимента	6
4.2	Исследуемые статистики	6
4.3	Описание наборов тестов	6
4.4	Анализ результатов	6
5	Заключение	11

1 Постановка задачи

Дан неориентированный граф $G(V, E)$ с матрицей весов $W \in S^n$, $W \geq 0$. Требуется построить такое разбиение множества вершин $V = S \sqcup T$, что суммарный вес ребер, ведущих из S в T , был **максимально** возможным. Иначе говоря, нужно решить следующую задачу оптимизации:

$$c^* = \max_x \frac{1}{4} \sum_{i=1}^n \sum_{j=1}^n w_{ij} (1 - x_i x_j)$$

$$s.t. x_i = \pm 1$$

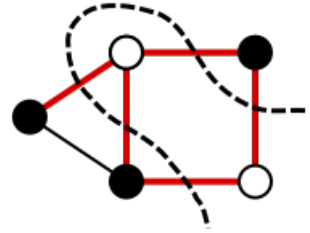


Рис. 1:
Пример разреза
(ребра, пересекающие разрез, выделены красным)

2 Построение SDP задачи

Поставленные в задаче бинарные ограничения делают ее задачей дискретной оптимизации. Переформулируем задачу к виду проверки на существование в графе G разреза стоимостью хотя бы k . Эта задача лежит в NP, потому что в качестве сертификата в данном случае можно использовать разрез. Можно доказать сводимость к ней задачи 3-SAT (что хорошо описано, например, у David Steurer[1]), что уже влечет ее NP-полноту. Поэтому имеет смысл построения более простой задачи, которая вычислялась бы за разумное время. Пусть матрица $Y = xx^T$, тогда $x_i x_j = y_{ij}$. Значит ограничение $x_i = \pm 1$ есть тоже самое, что $diag(Y) = (1, \dots, 1)^T$. Заметим, что эти преобразования не поменяли суть задачи, но уже привели ее к следующему виду:

$$\max_x \frac{1}{4} \sum_{i=1}^n \sum_{j=1}^n w_{ij} (1 - y_{ij})$$

$$s.t. Y = xx^T$$

$$diag(Y) = (1, \dots, 1)^T$$

Видим, что матрица Y должна быть одноранговой. Такое ограничение делает задачу невыпуклой, поэтому предлагается избавиться от него, заменив его на $Y \in S_+^n$ (именно в этом моменте мы делаем не равносильное преобразование и получаем релаксацию). Избавившись от переменной x , получаем следующую задачу:

$$\max_Y \frac{1}{4} \sum_{i=1}^n \sum_{j=1}^n w_{ij} (1 - y_{ij})$$

$$s.t. Y \in S_+^n$$

$$diag(Y) = (1, \dots, 1)^T$$

Убрав слагаемые, которые не зависят от Y , и значок транспонирования у матрицы Y (из симметричности) получаем следующую эквивалентную задачу:

$$\min_Y \frac{1}{4} trace(WY)$$

$$s.t. Y \in S_+^n$$

$$diag(Y) = (1, \dots, 1)^T$$

Стандартная форма задачи полуопределенного программирования выглядит следующим образом:

$$\begin{aligned} \min_X & \text{trace}(CX) \\ \text{s.t. } & \text{trace}(A_i X) = b_i \\ & X \in S_+^n \\ & C, A_i \in S^n \end{aligned}$$

Значит единственное, что осталось, это разобраться с ограничением на след, что делается просто: $Y_{ii} = \text{trace}(Y E^i)$, где у матрицы E^i все элементы равны 0, кроме $E_{ii}^i = 1$. Значит заменяем ограничение на диагональ Y серией из n ограничений $\text{trace}(Y E^i) = 1$. Итого, полученная задача **удовлетворяет стандартной форме SDP**.

3 Алгоритм Гёманса—Уильямсона

Когда мы решим релаксированную задачу, мы получим какую-то матрицу $X \in S_+^n$, которая все еще не является ответом(ее элементы могут быть даже не целыми). Поэтому далее будет описан алгоритм, справляющийся с этой трудностью.

3.1 Описание

Так матрица Y симметрична и положительно полуопределена, то у нее есть спектральное разложение $Y = LDL^T$, где D – диагональная матрица, где на диагонали стоят собственные значения. Тогда $Y = UU^T$, где $U = L\sqrt{D}$.

Повторим следующую процедуру много раз и из ответов выберем лучший:

1. Сгенерируем случайный вектор v на единичной сфере(это можно сделать например отнормировав гауссовский вектор).
2. Возьмем за множество $S = \{i | \langle v, u_i \rangle \geq 0\}$, где u_i – столбец матрицы U (проще говоря, возьмем те индексы, для которых соответствующие собственные вектора попали в одно полупространство при сечении гиперплоскостью с вектором нормали v).

3.2 Корректность

Утверждение:

Обозначим r^* – возвращаемое алгоритмом значение(после одной итерации). Тогда

$$c^* \geq \mathbb{E}_v(r^*) \geq 0.878p^*$$

Доказательство: Рассмотрим матожидание величины разреза, который нам вернул алгоритм(распишем по определению):

$$\begin{aligned} \mathbb{E}_v(C) &= \mathbb{E}_v \frac{1}{2} \left(\sum_{i=1}^n \sum_{j=1}^n w_{ij} \mathbb{I}[\text{sign}(v^T u_i) \neq \text{sign}(v^T u_j)] \right) \\ &= \mathbb{E}_v \frac{1}{2} \left(\sum_{i=1}^n \sum_{j=1}^n w_{ij} \mathbb{P}(\text{sign}(v^T u_i) \neq \text{sign}(v^T u_j)) \right) \end{aligned}$$

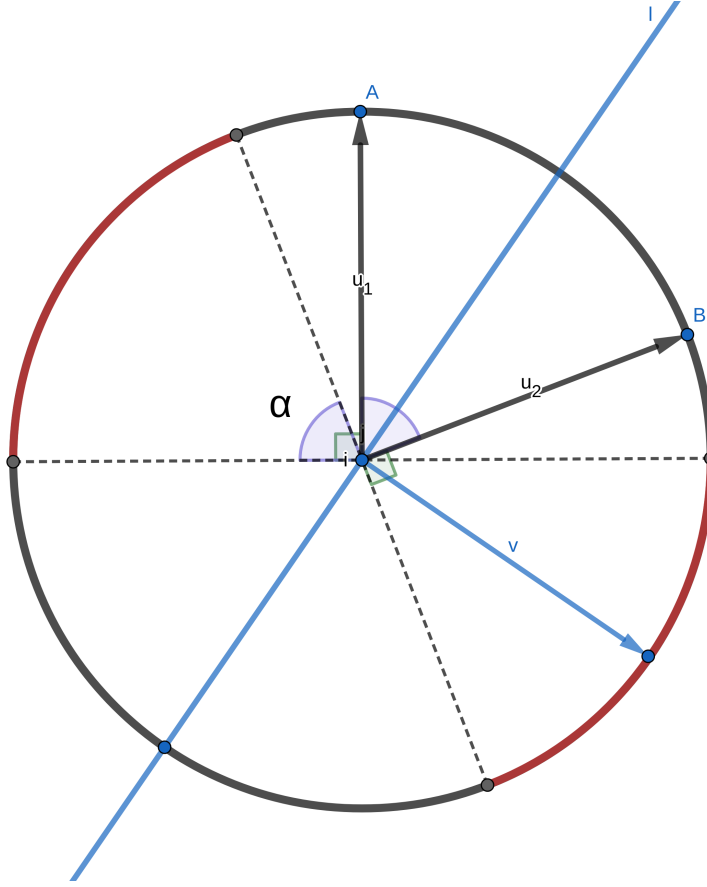


Рис. 2: Иллюстрация леммы для двумерного случая. Для разделимости исходных векторов необходимо и достаточно того, чтобы нормаль к гиперплоскости лежала в отмеченных красным секторах. Вероятность попасть в такие секторы равна $\frac{2\alpha}{2\pi} = \frac{\alpha}{\pi}$, но углы, отмеченные фиолетовым равны (как углы между перпендикулярами – школьный факт), что и требовалось.

Лемма:

$$\mathbb{P}(\text{sign}(v^T u_i) \neq \text{sign}(v^T u_j)) = \frac{\angle(u_i, u_j)}{\pi} = \frac{\arccos(u_i^T u_j)}{\pi}$$

Доказательство: Проще говоря, хочется доказать, что вероятность отделить друг от друга два вектора случайной гиперплоскостью пропорциональна углу между этими векторами. Из симметрии сферы:

$$\mathbb{P}(\text{sign}(v^T u_i) \neq \text{sign}(v^T u_j)) = 2\mathbb{P}(v^T u_i \geq 0, v^T u_j < 0)$$

Событие из правой части образовано пересечением двух полупространств, угол между которыми как раз равен углу между векторами u_i и u_j (обозначим его θ), поэтому и вероятность такого события есть $\frac{\theta}{2\pi}$. Это доказывает первое равенство, а второе же получается выражение значения угла θ через \arccos .

□

Итого:

$$\mathbb{E}_v(C) = \frac{1}{2} \sum_{i=1}^n \sum_{j=1}^n w_{ij} \frac{\arccos(u_i, u_j)}{\pi} = \frac{1}{2} \sum_{i=1}^n \sum_{j=1}^n w_{ij} \frac{2 \arccos(u_i, u_j)}{\pi(1 - u_i^T u_j)} \frac{1 - u_i^T u_j}{1}$$

Из ограничений SDP задачи, по которой получена матрица Y , получаем, что $|u_i| = 1$, значит $|u_i^T u_j| \leq 1$, причем выражение под модулем равно единице тогда и только тогда,

когда $u_i = u_j$. Поэтому имеет смысл рассмотреть поведение функции $\frac{2 \arccos(x)}{\pi(1-x)}$ на промежутке $[-1, 1)$. Оказывается, она **ограничена снизу** на этом промежутке константой $\alpha_{GW} \approx 0.878$, что можно, например, пронаблюдать на построенном графике.

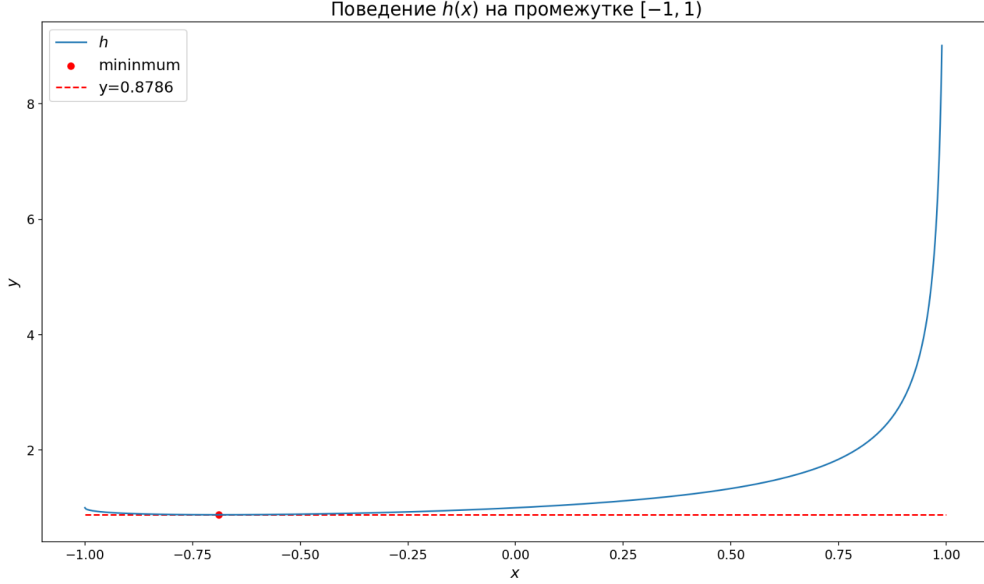


Рис. 3: График функции $h(x)$

Тогда

$$\mathbb{E}_v(C) \geq \alpha_{GW} \frac{1}{4} \sum_{i=1}^n \sum_{j=1}^n w_{ij} (1 - u_i^T u_j) = \alpha_{GW} p^* \geq \alpha_{GW} c^*$$

Т.к. любой ответ выданный алгоритмом будет не лучше чем оптимальный c^* , то и их среднее $\mathbb{E}_v(C)$ – тоже. Значит

$$c^* \geq \mathbb{E}_v(C) \geq \alpha_{GW} \geq \alpha_{GW} p^* \geq \alpha_{GW} c^*$$

Утверждение доказано.

□

4 Эксперимент

Реализовать описанный выше алгоритм можно с помощью общедоступных пакетов оптимизации. Таким как раз является популярный пакет [CVX](#) для Python3. Все материалы этого проекта, в том числе реализация и результаты тестирования доступны на моем [Github](#).

Стоит отметить, что в отличие от оригинальной статьи, моя реализация **повторяет несколько раз** случайную генерацию векторов на сфере и соответствующего разреза, чтобы по полученному набору ответов взять среднее и максимум. Так как количество таких повторов является не слишком большой константой (я взял 30 для того, чтобы выборочное среднее хорошо приближало теоретический матож), а каждая такая итерация выполняется не слишком долго (из тяжелых операций там происходит только генерация случайного вектора и перемножение матрицы на вектор), то общее время работы возрастает на величину, которой можно пренебречь. Оно и логично, внутри cvx наверняка используется что-то уж явно не легче чем перемножение матриц.

Также, мною было реализовано brute force решение экспоненциальной сложности, под-считывающее точный ответ.

4.1 План эксперимента

1. Зафиксируем несколько типов графов, из которых будем генерировать тест-сеты, а также количество графов в каждом тест сете $m = 50$. Для каждого из типов графов будет по два тест-сета, которые будут отличаться количеством вершин в графах, в данном случае это $n = 10, 20$.
2. Сгенерируем графы для каждого из тест-сетов.
3. Запустим на вообще всех графах brute force решение и SDP + алгоритм Гёманса-Уильямсона. Получим соответственно точный ответ, среднее по попыткам и максимум по попыткам алгоритма для **каждого графа**.
4. Проверим выполнимость теоретического утверждения для среднего и исследуем насколько эффективным будет модификация с выбором максимума.

4.2 Исследуемые статистики

1. Посчитаем долю средних которые попадут в отрезок $[\alpha_{GW}c^*, c^*]$, где $\alpha_{GW} \approx 0.878$.
2. Построим гистограмму для значения максимума из алгоритма поделить на точный ответ.

4.3 Описание наборов тестов

Для тестирования были выбраны следующие стохастические типы графов(по два тест-сета на каждый в зависимости от количества вершин – 10 и 20):

1. Случайные 3-регулярные и 8-регулярные графы.
2. Графы в модели Эрдёша — Реньи с $p = \frac{1}{2}, \frac{1}{4}, \frac{3}{4}$.
3. Графы в модели Альберта-Барабаши со степенью 4 и $\frac{n}{2}$.
4. Графы, построенные по алгоритму Holm-Kim [2].

4.4 Анализ результатов

Приведем сначала визуализации полученных результатов:

◆ Средние, лежащие в $[0.878c^*, c^*]$ для размера 10, % ◆ Средние, лежащие в $[0.878c^*, c^*]$ для размера 20, % ◆

0 100.0 100.0

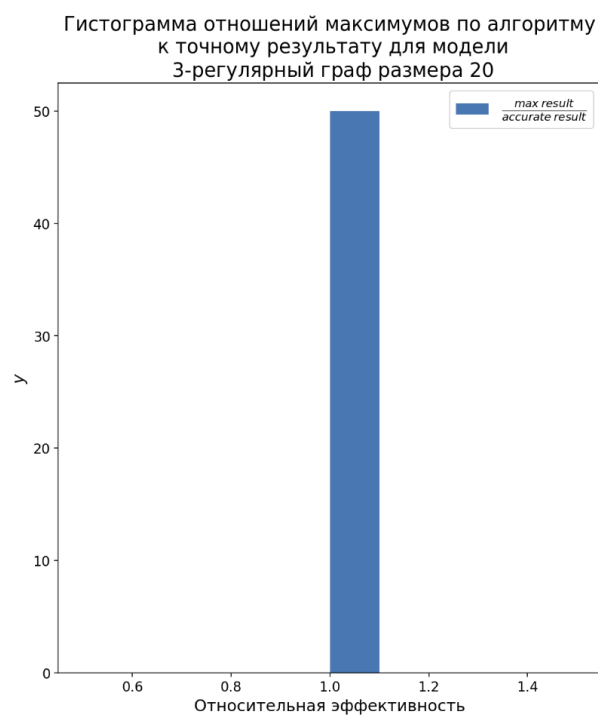
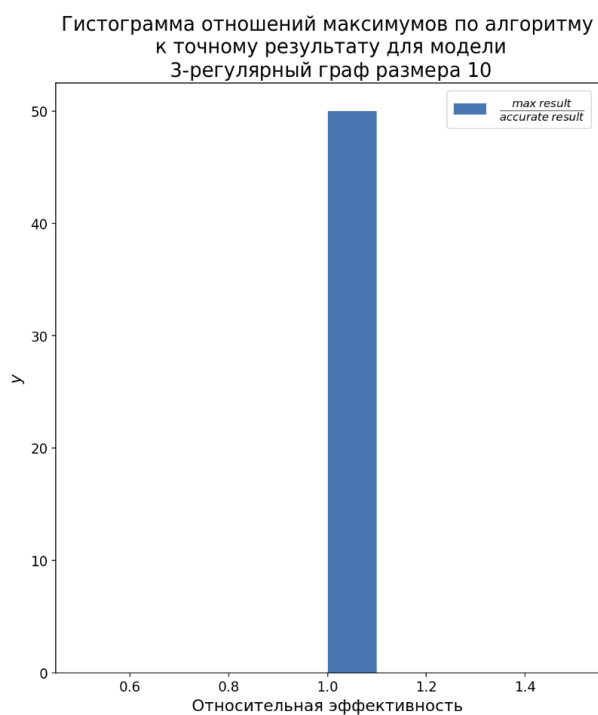
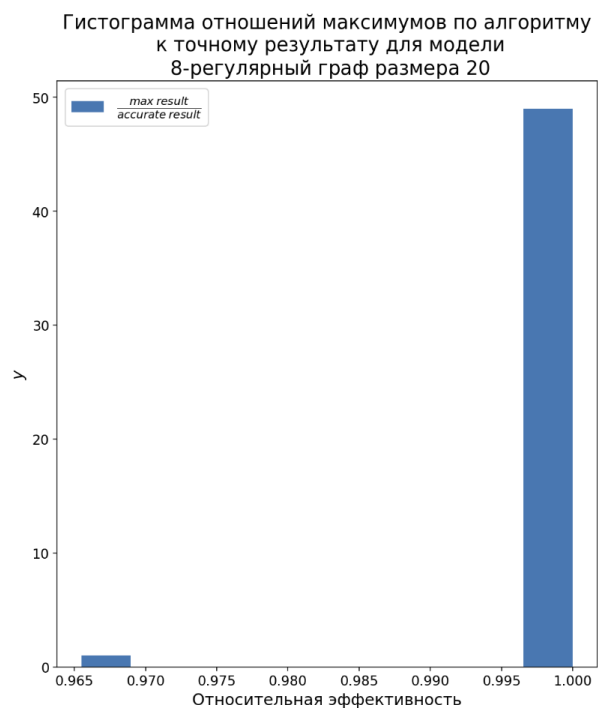
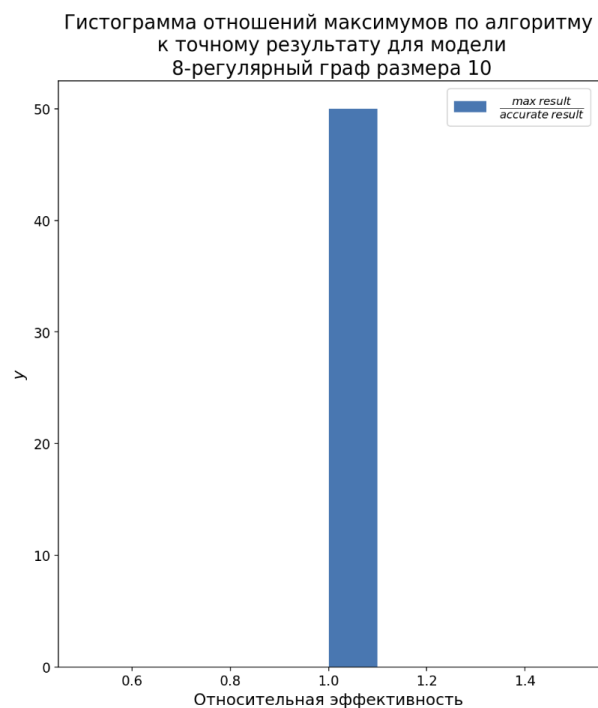


Рис. 4:

◆ Средние, лежащие в $[0.878c^*, c^*]$ для размера 10, % ◆ Средние, лежащие в $[0.878c^*, c^*]$ для размера 20, % ◆

0 100.0 100.0



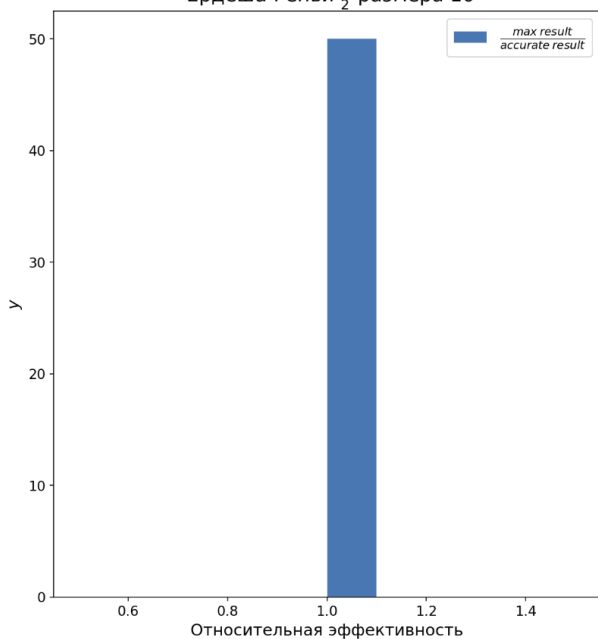
◆ Средние, лежащие в $[0.878c^*, c^*]$ для размера 10, % ◆ Средние, лежащие в $[0.878c^*, c^*]$ для размера 20, % ◆

0

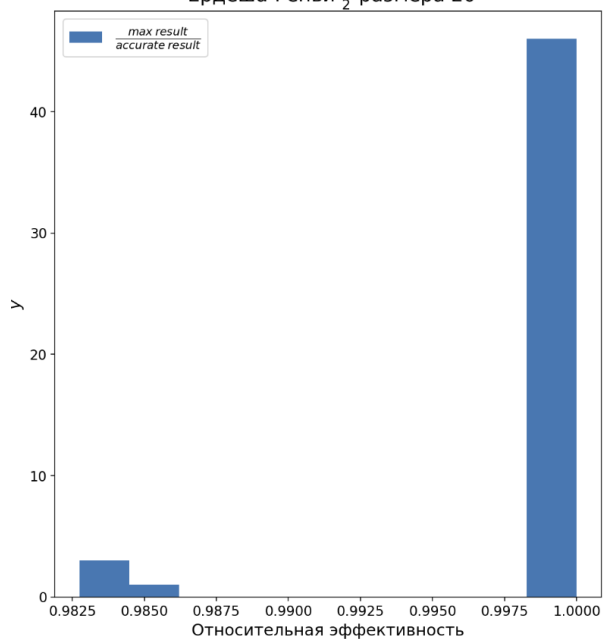
100.0

100.0

Гистограмма отношений максимумов по алгоритму
к точному результату для модели
Ердеша-Реньи $\frac{1}{2}$ размера 10



Гистограмма отношений максимумов по алгоритму
к точному результату для модели
Ердеша-Реньи $\frac{1}{2}$ размера 20



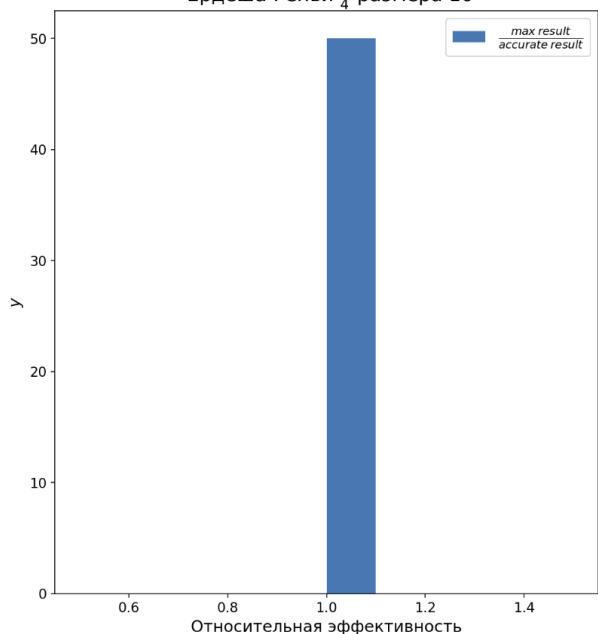
◆ Средние, лежащие в $[0.878c^*, c^*]$ для размера 10, % ◆ Средние, лежащие в $[0.878c^*, c^*]$ для размера 20, % ◆

0

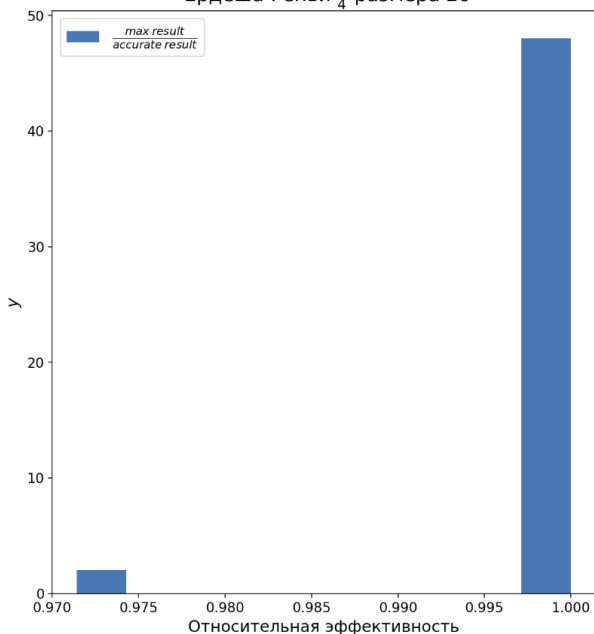
100.0

100.0

Гистограмма отношений максимумов по алгоритму
к точному результату для модели
Ердеша-Реньи $\frac{1}{4}$ размера 10



Гистограмма отношений максимумов по алгоритму
к точному результату для модели
Ердеша-Реньи $\frac{1}{4}$ размера 20



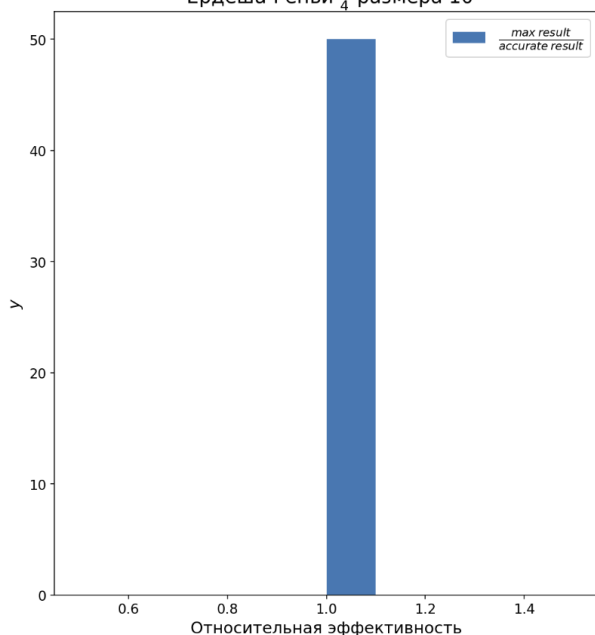
◆ Средние, лежащие в $[0.878c^*, c^*]$ для размера 10, % ◆ Средние, лежащие в $[0.878c^*, c^*]$ для размера 20, % ◆

0

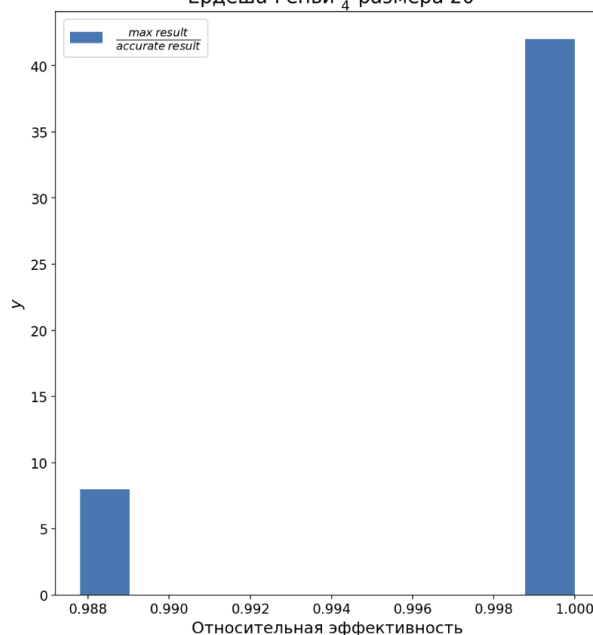
100.0

100.0

Гистограмма отношений максимумов по алгоритму
к точному результату для модели
Ердеша-Реньи $\frac{3}{4}$ размера 10



Гистограмма отношений максимумов по алгоритму
к точному результату для модели
Ердеша-Реньи $\frac{3}{4}$ размера 20



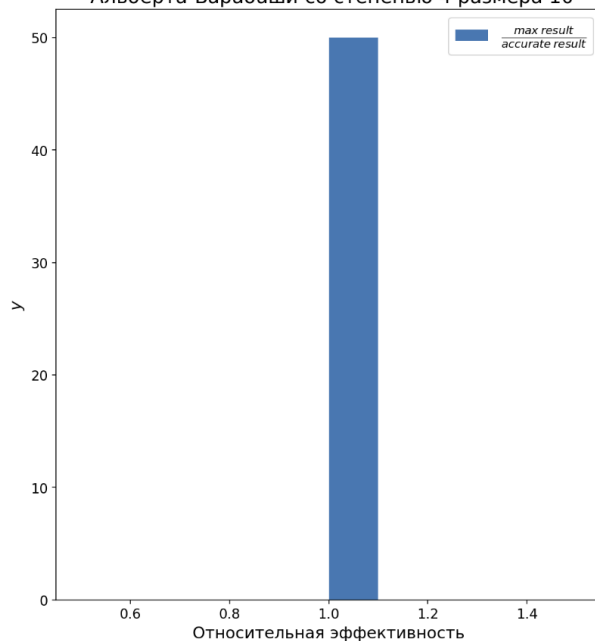
◆ Средние, лежащие в $[0.878c^*, c^*]$ для размера 10, % ◆ Средние, лежащие в $[0.878c^*, c^*]$ для размера 20, % ◆

0

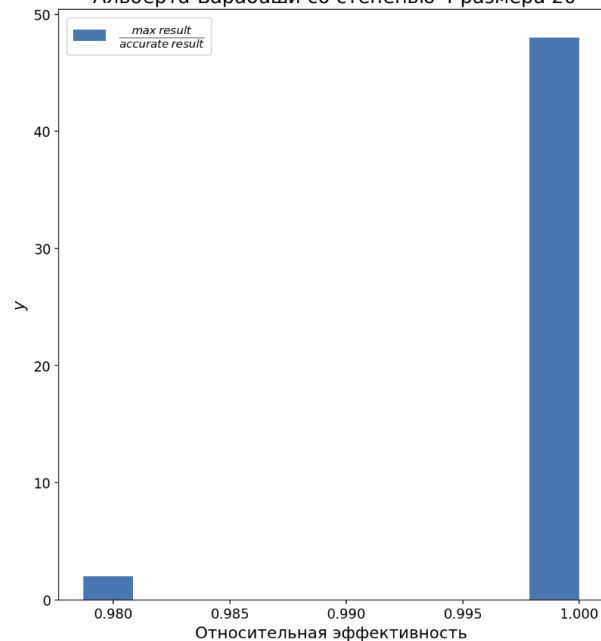
100.0

100.0

Гистограмма отношений максимумов по алгоритму
к точному результату для модели
Альберта-Барабаши со степенью 4 размера 10



Гистограмма отношений максимумов по алгоритму
к точному результату для модели
Альберта-Барабаши со степенью 4 размера 20

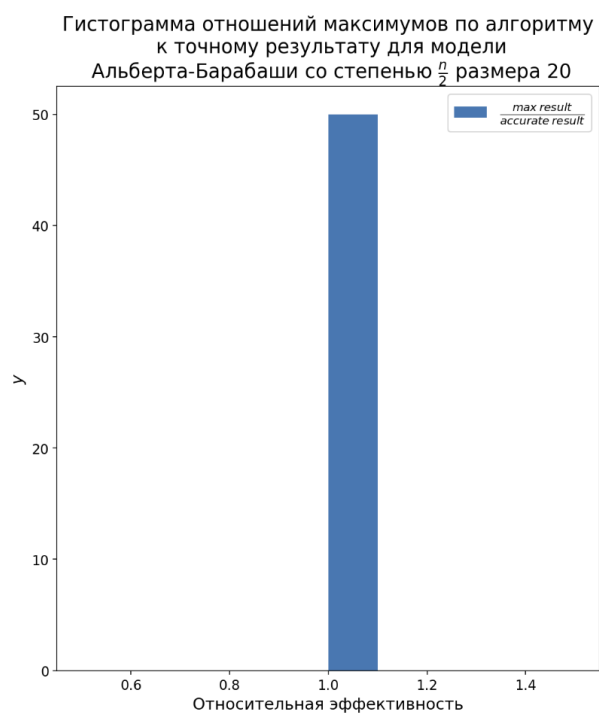
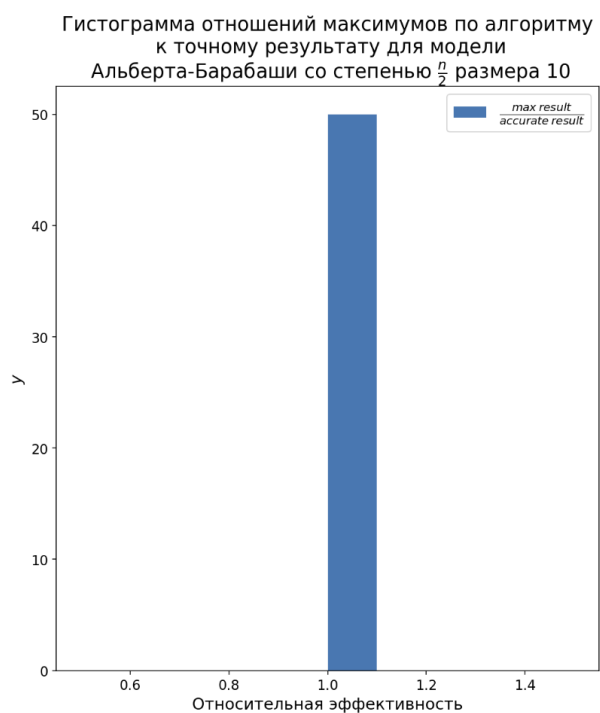


◆ Средние, лежащие в $[0.878c^*, c^*]$ для размера 10, % ◆ Средние, лежащие в $[0.878c^*, c^*]$ для размера 20, % ◆

0

100.0

100.0

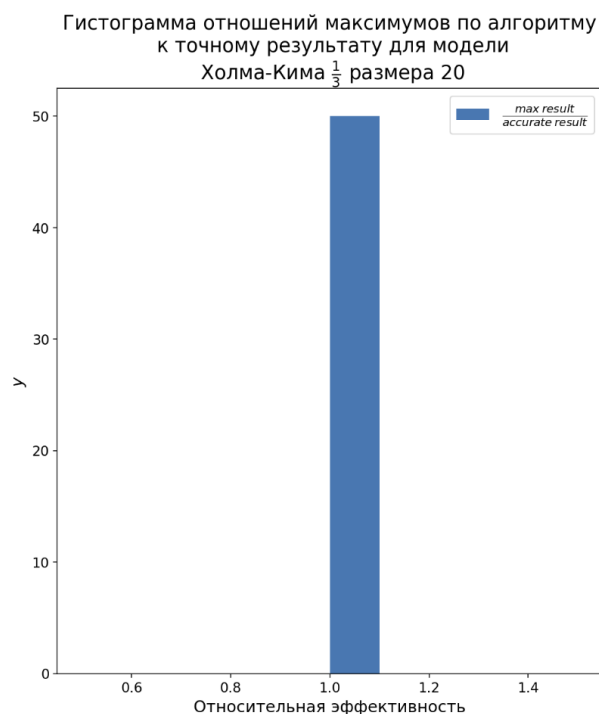
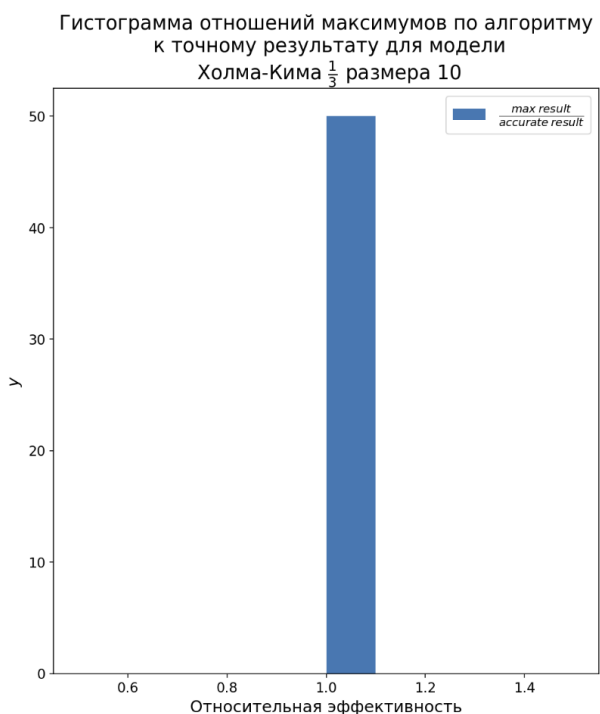


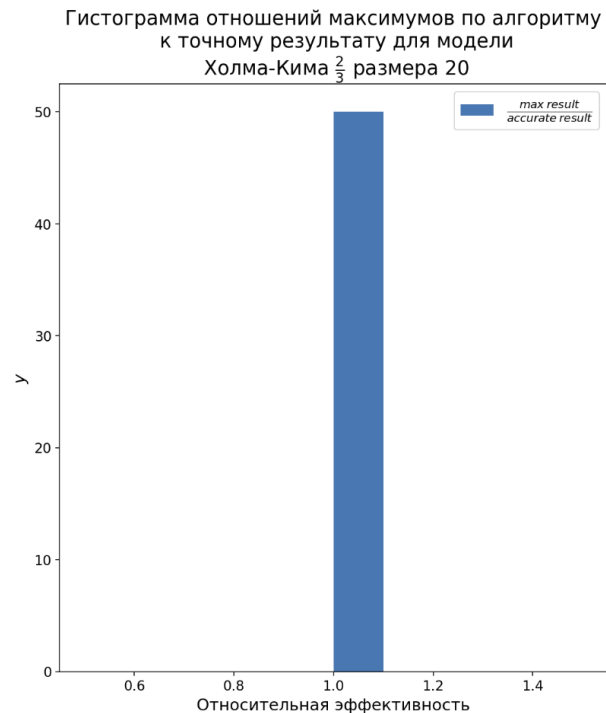
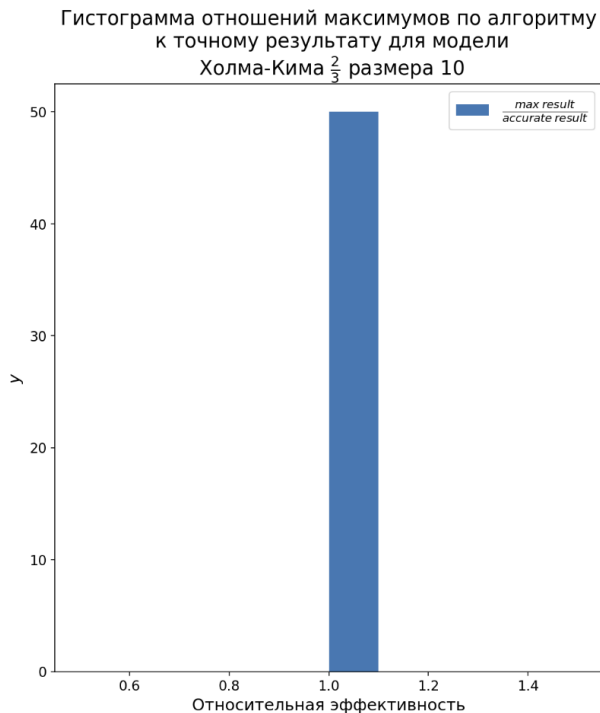
◆ Средние, лежащие в $[0.878c^*, c^*]$ для размера 10, % ◆ Средние, лежащие в $[0.878c^*, c^*]$ для размера 20, % ◆

0

100.0

100.0





1. Как видим, доказанное теоретически утверждение согласуется со всем полученными результатами.
2. На данных размерах графов и при всех рассмотренных их стохастических типах идея, брать из всех результатов максимум, отлично себя показала и дает точный результат в более чем 80% случаев.
3. На затраты по памяти не стоит обращать внимание, потому что при данных размерах графа они близки к нулю.
4. Что касается времени, то на рассматриваемых тестовых данных переборное решение требует порядка 20 секунд в среднем на один граф, в то время как SDP решение требует порядка времени порядка 1 секунды.

5 Заключение

Подводя итоги, можно сказать, что в течение выполнения проекта удалось ознакомиться с алгоритмом Гёманса-Уильямсона, воспроизвести его доказательство, реализовать его, добавив, хоть и несложную, но всё-таки модификацию, а также протестировать его на тест-сетах разнообразных типов случайных графов. Результаты эксперимента согласуются с теоретически доказанными фактами, а модификация показывает результаты с приемлемым уровнем точности, хотя стоит отметить, что для более тщательного исследования необходимо значительно увеличить размеры графов, что требует огромных вычислительных мощностей, которыми я, к сожалению, не обладаю.

Список литературы

- [1] David Steurer: Reduction from 3 SAT to MAX CUT,

<http://www.cs.cornell.edu/courses/cs4820/2014sp/notes/reduction-maxcut.pdf>

- [2] P. Holm and B. J. Kim: “Growing scale-free networks with tunable clustering”, Phys. Rev. E, 65, 026107, 2002.

https://networkx.github.io/documentation/networkx-1.9.1/reference/generated/networkx.generators.random_graphs.barabasi_albert_graph.html